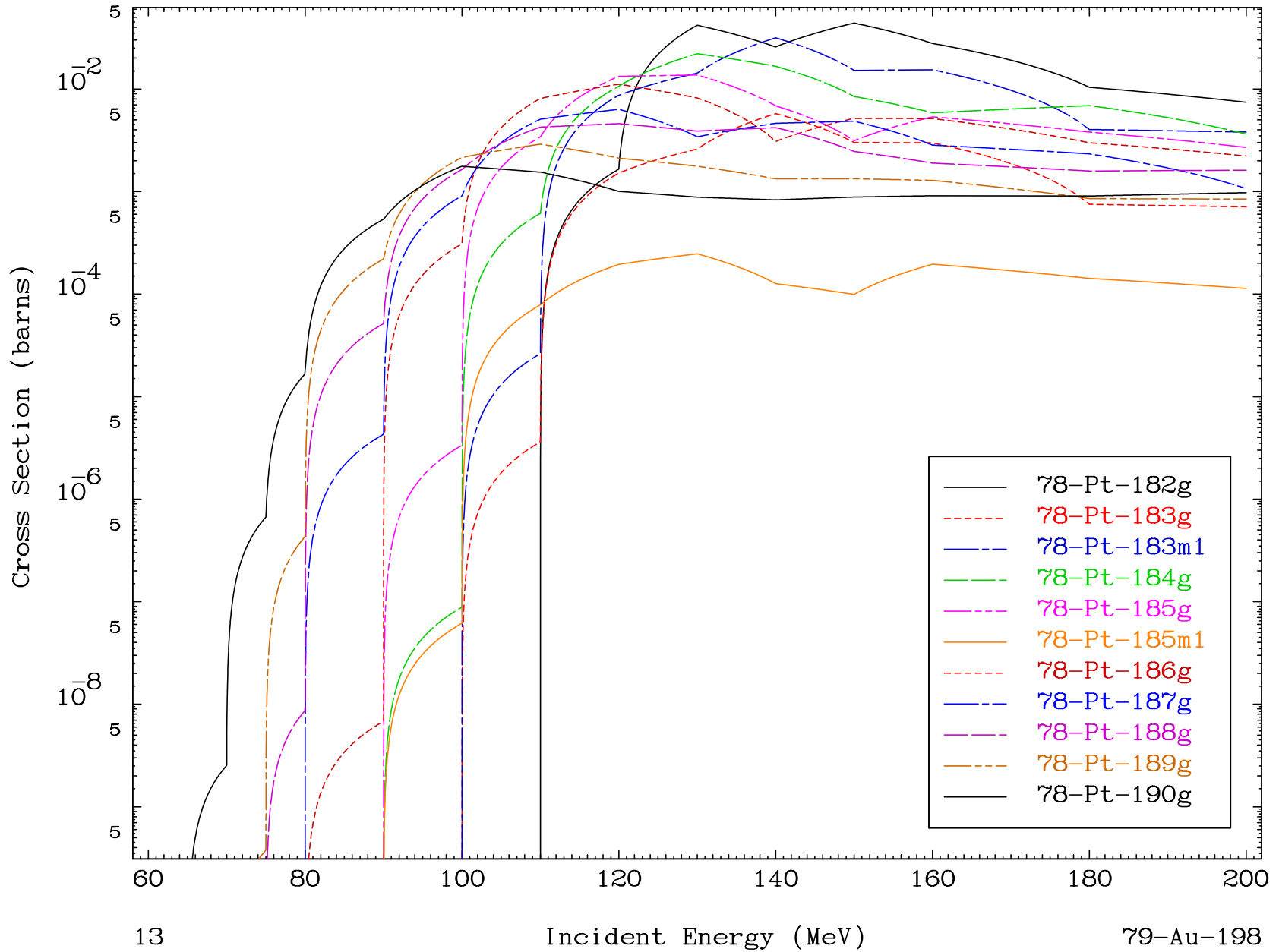
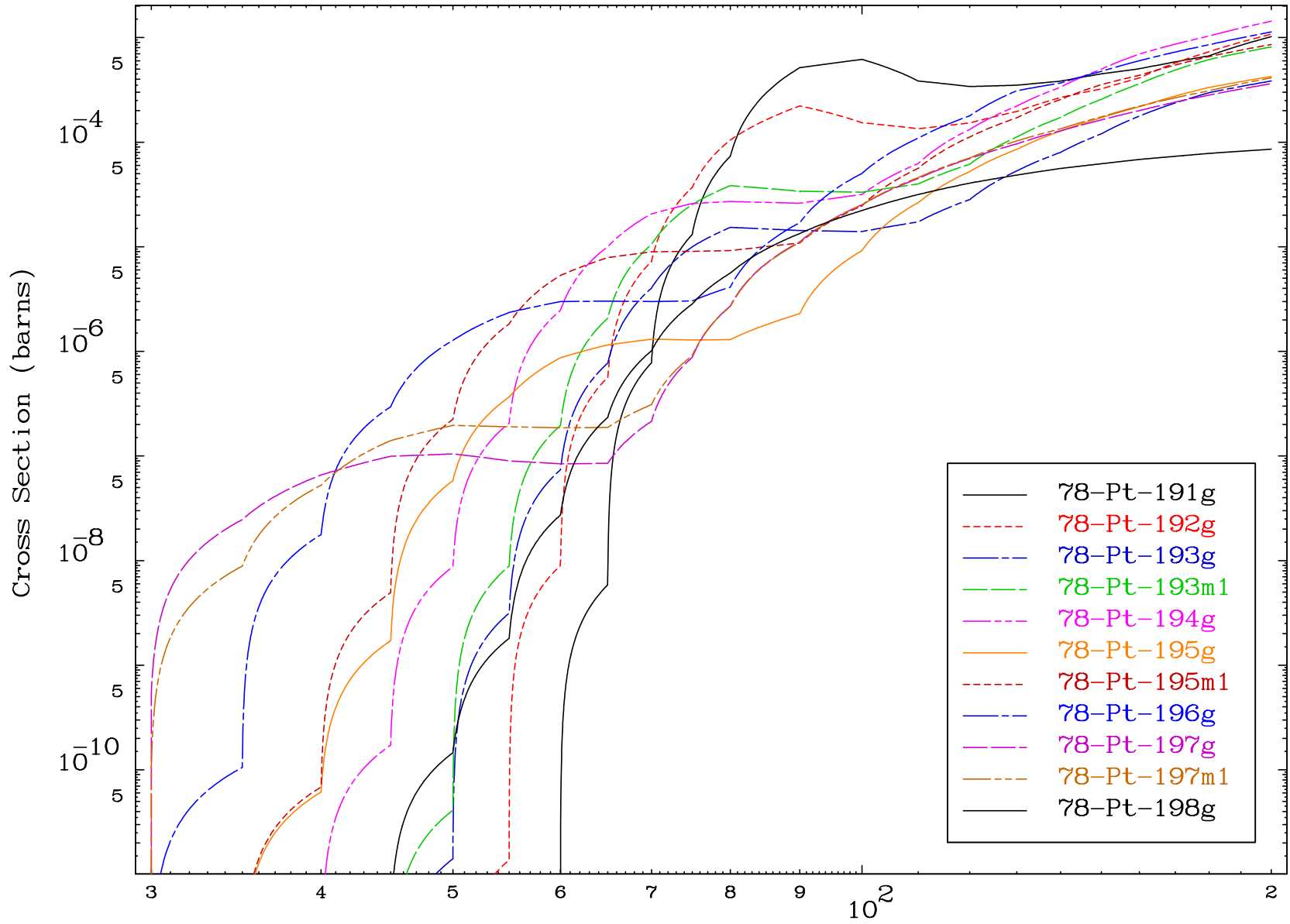
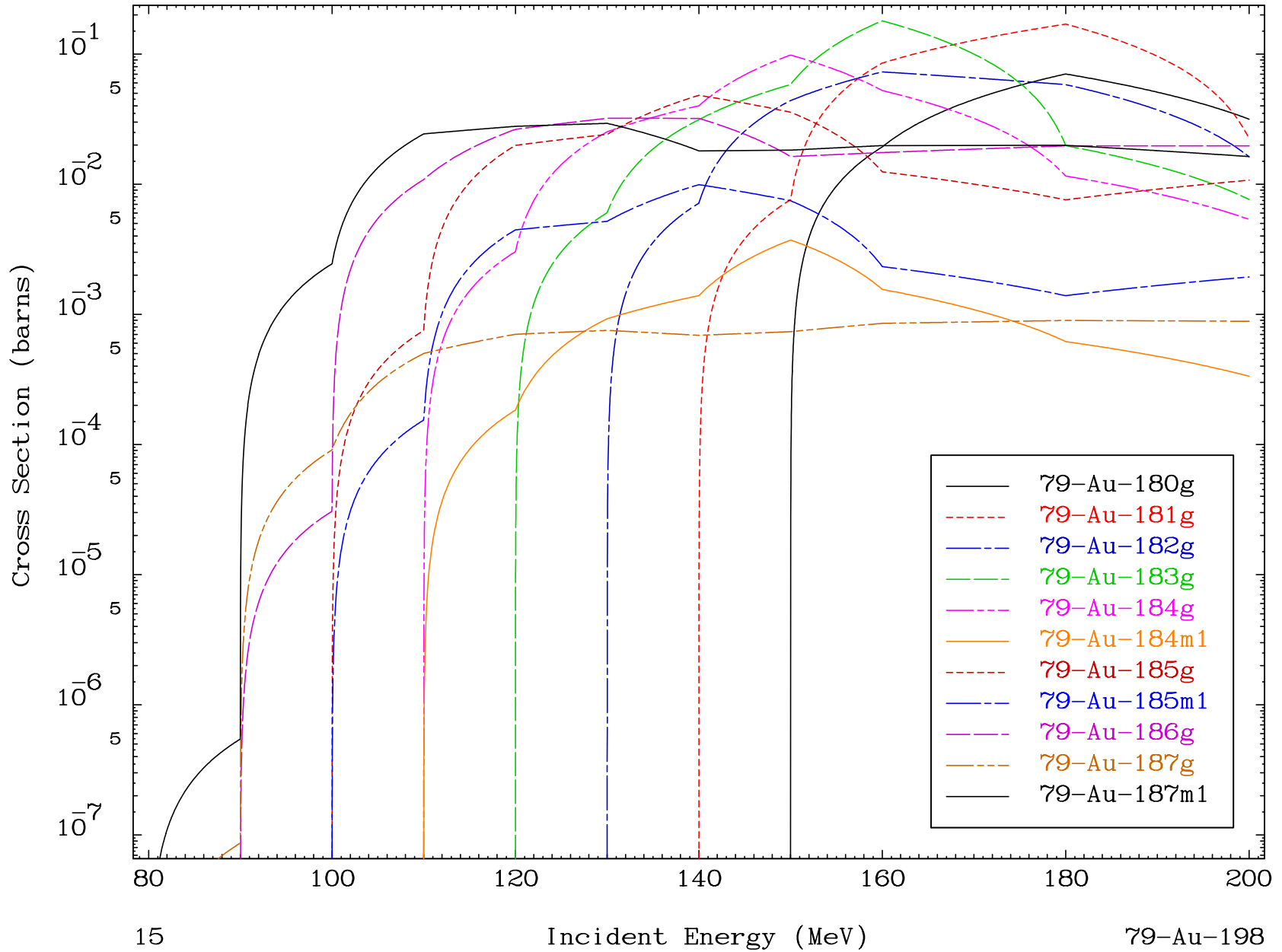


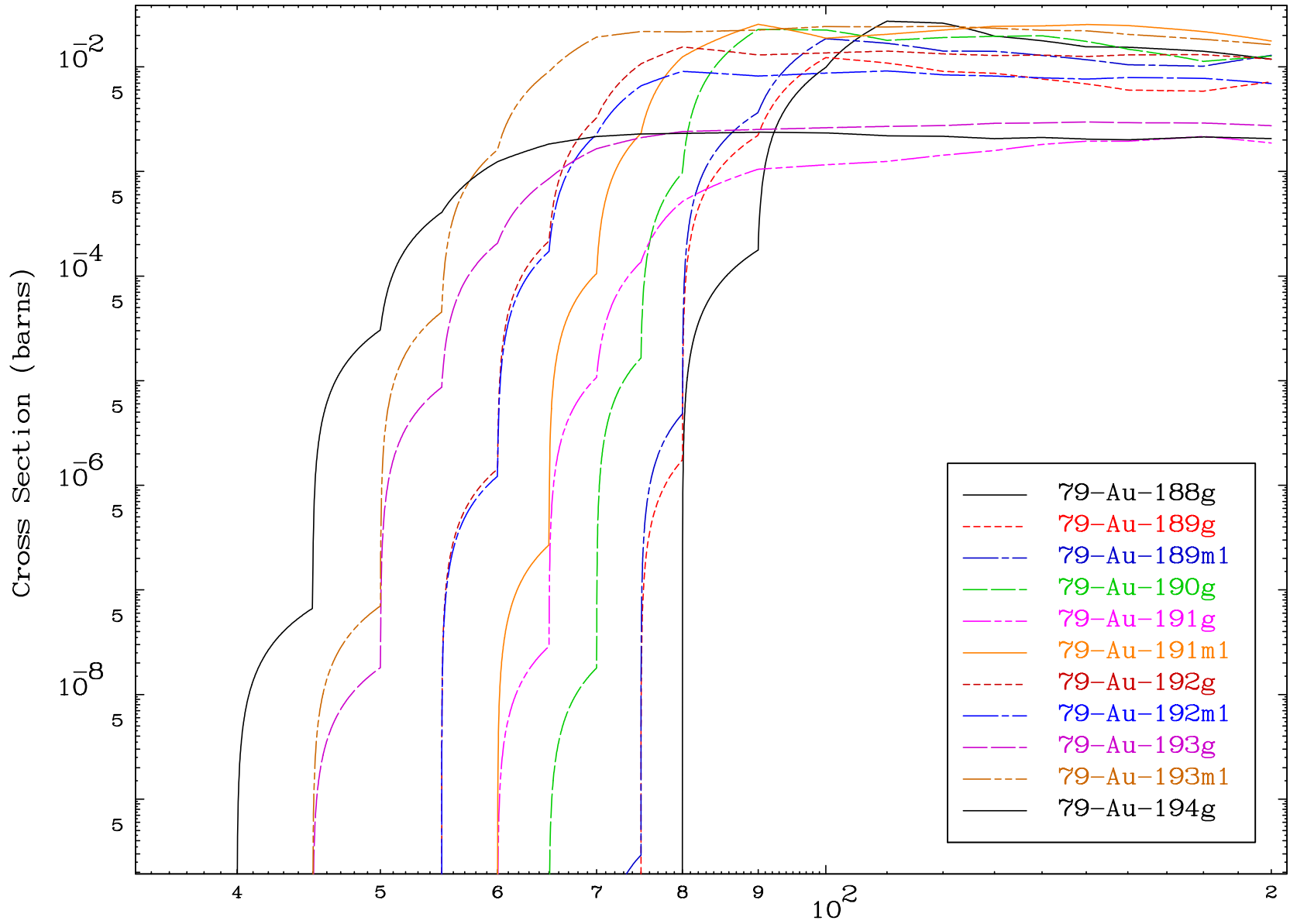
Radionuclide Production Cross Section



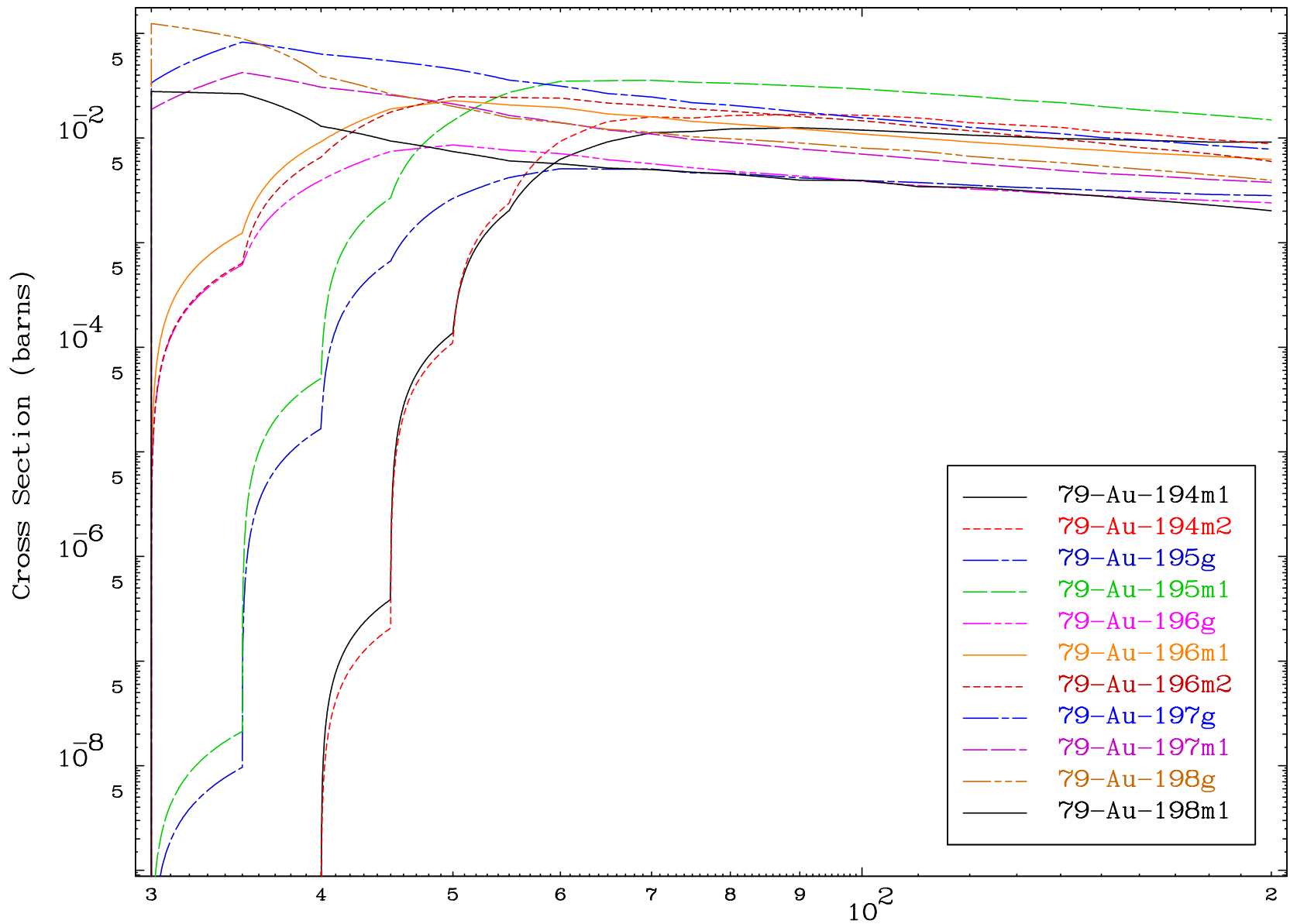


Radionuclide Production Cross Section

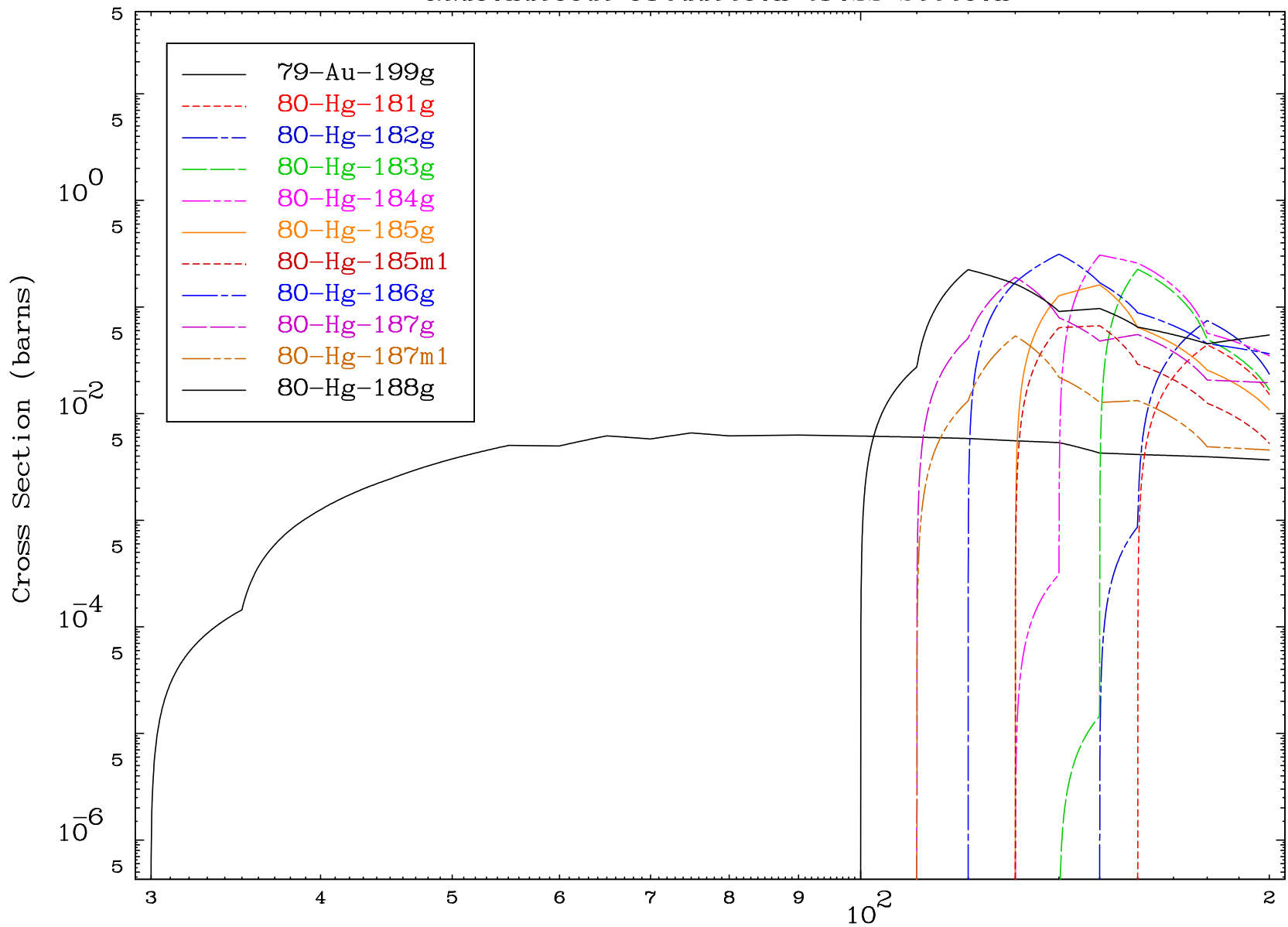




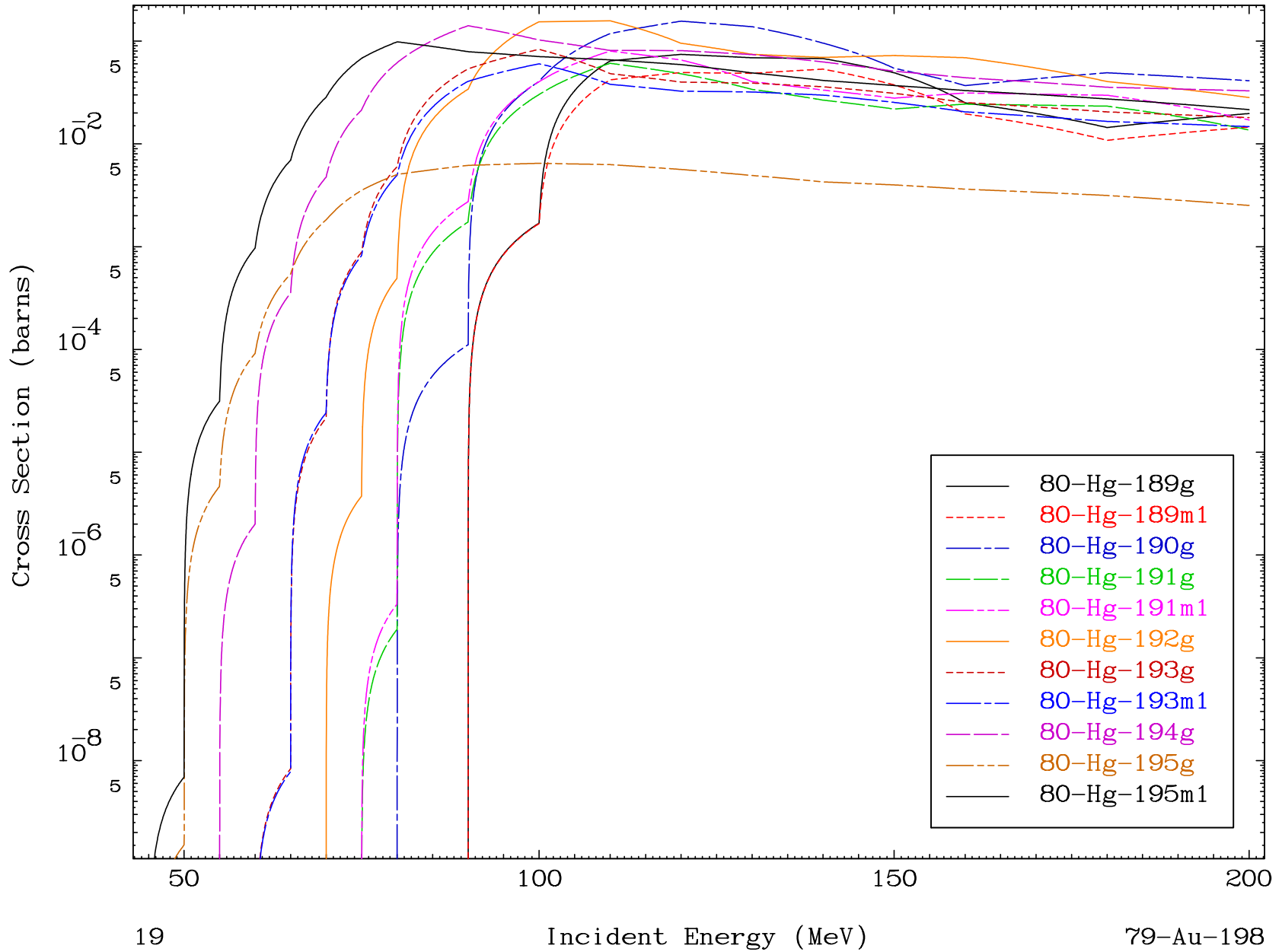
Radionuclide Production Cross Section



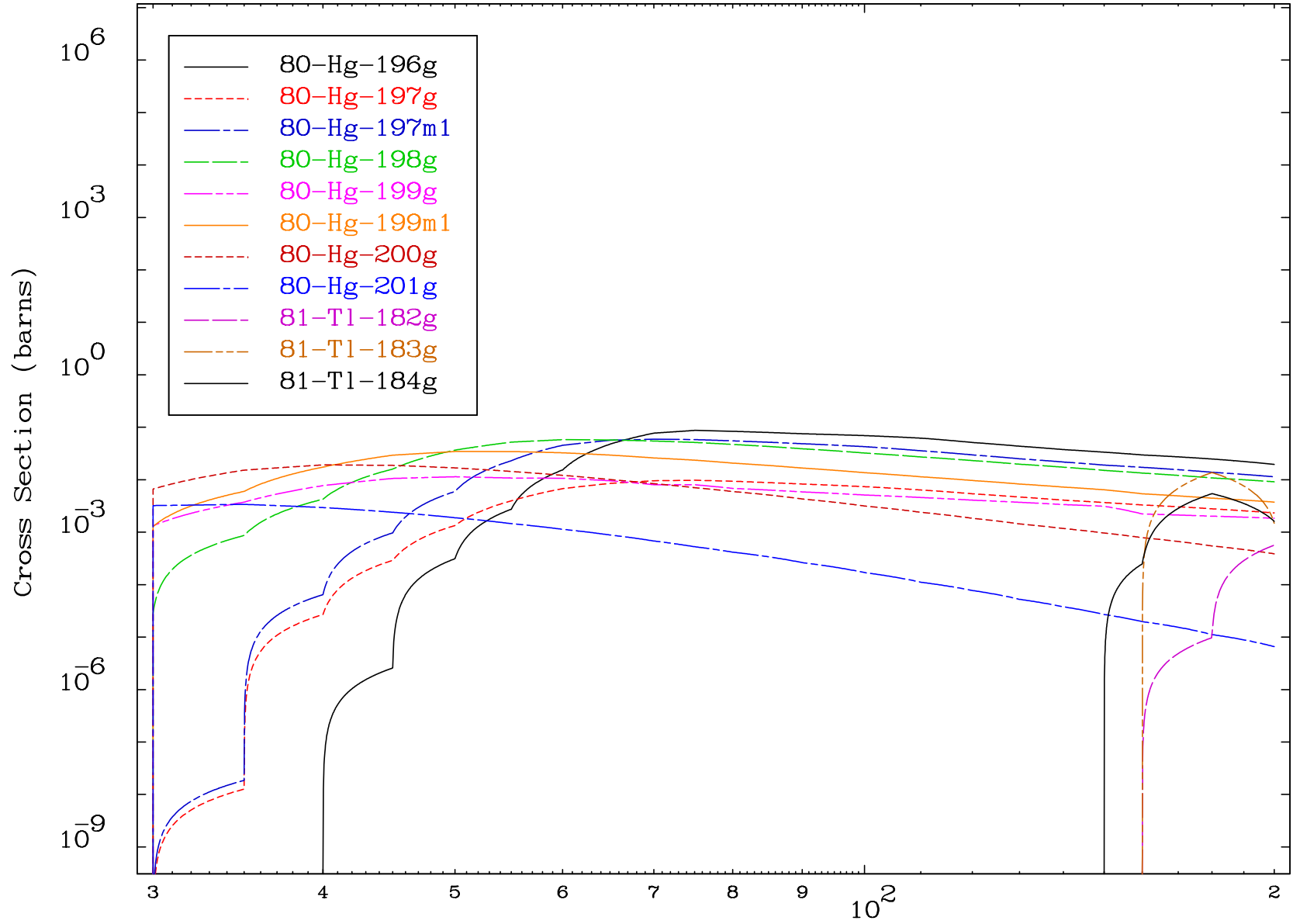
Radionuclide Production Cross Section



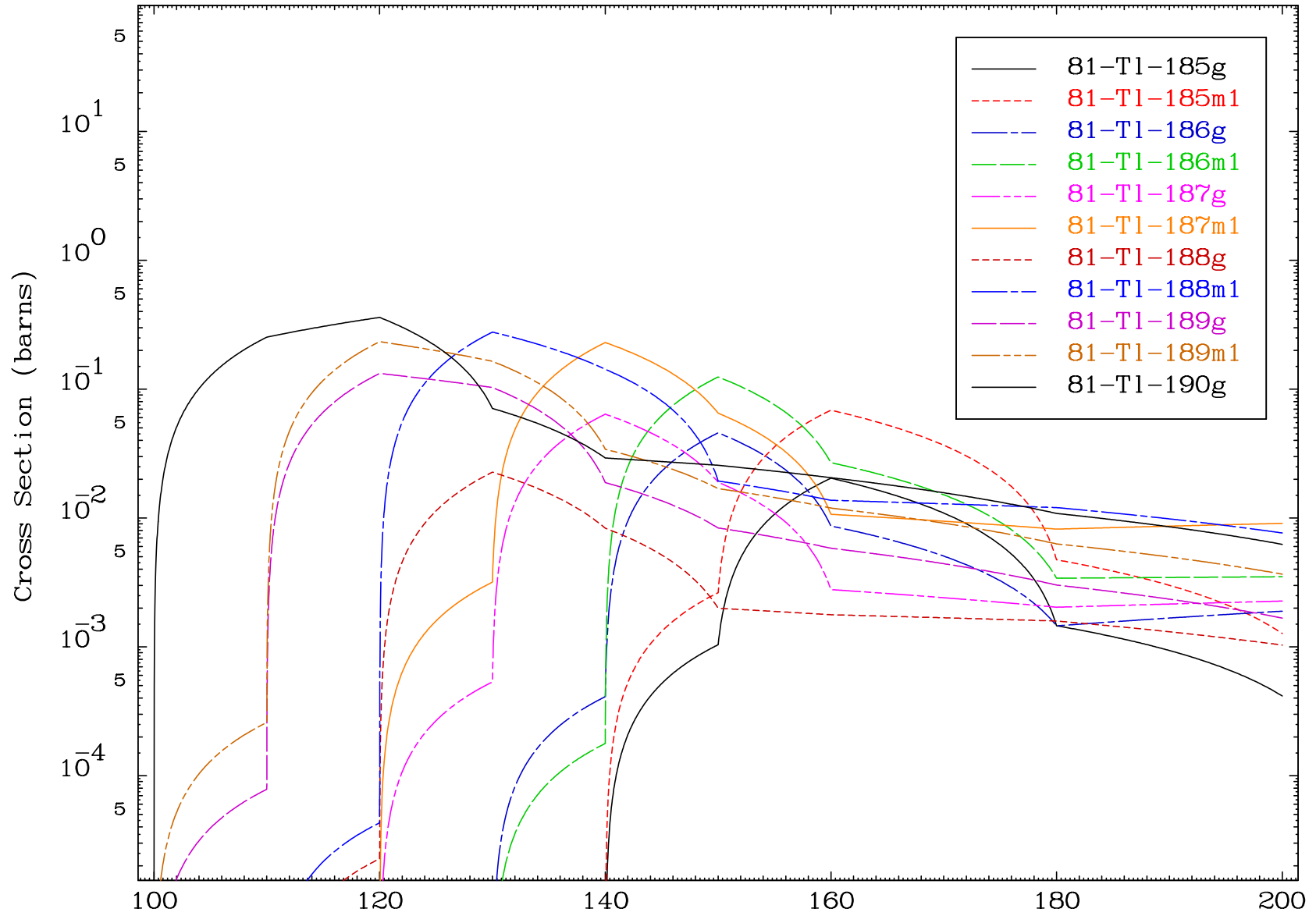
Radionuclide Production Cross Section



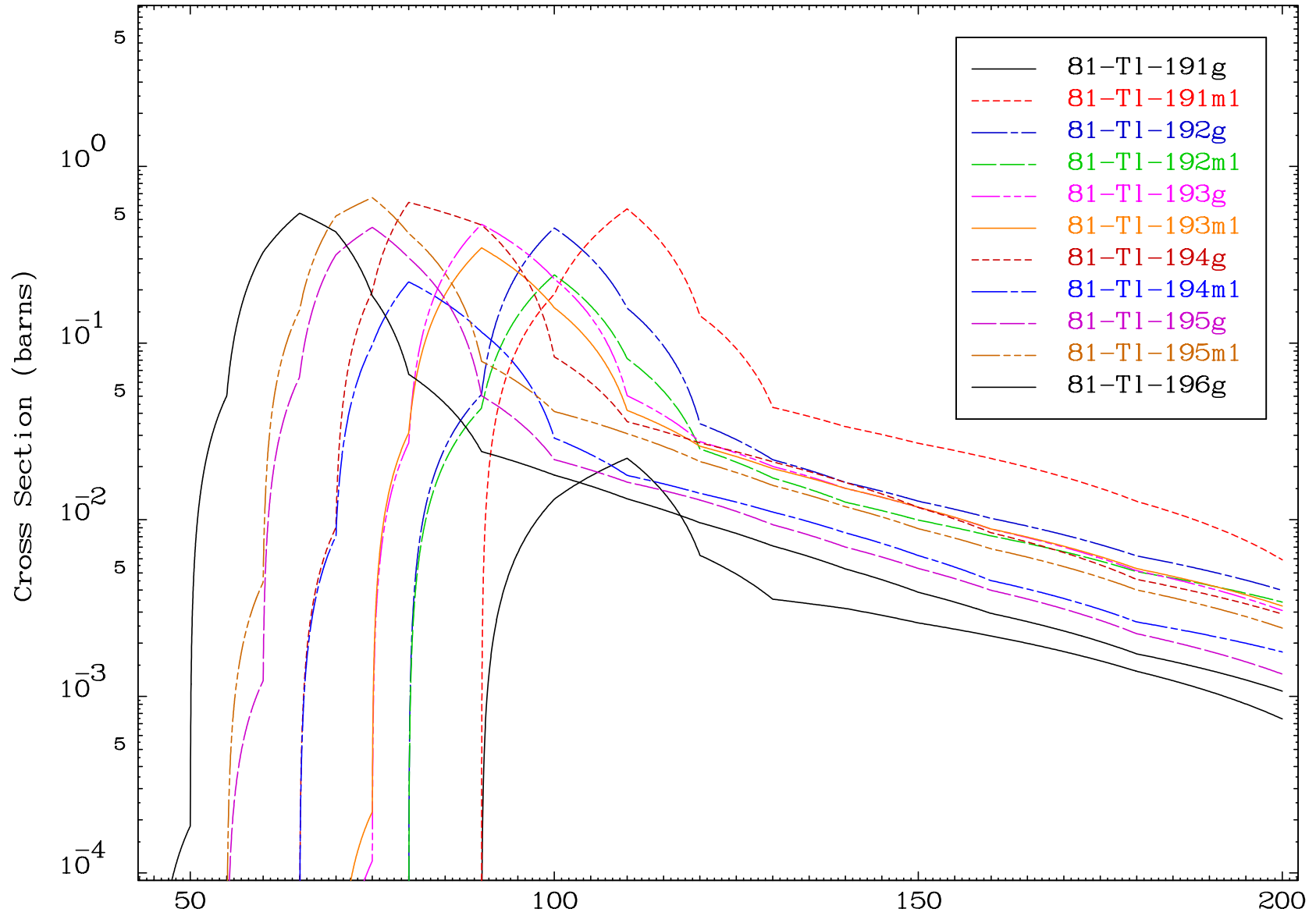
Radionuclide Production Cross Section



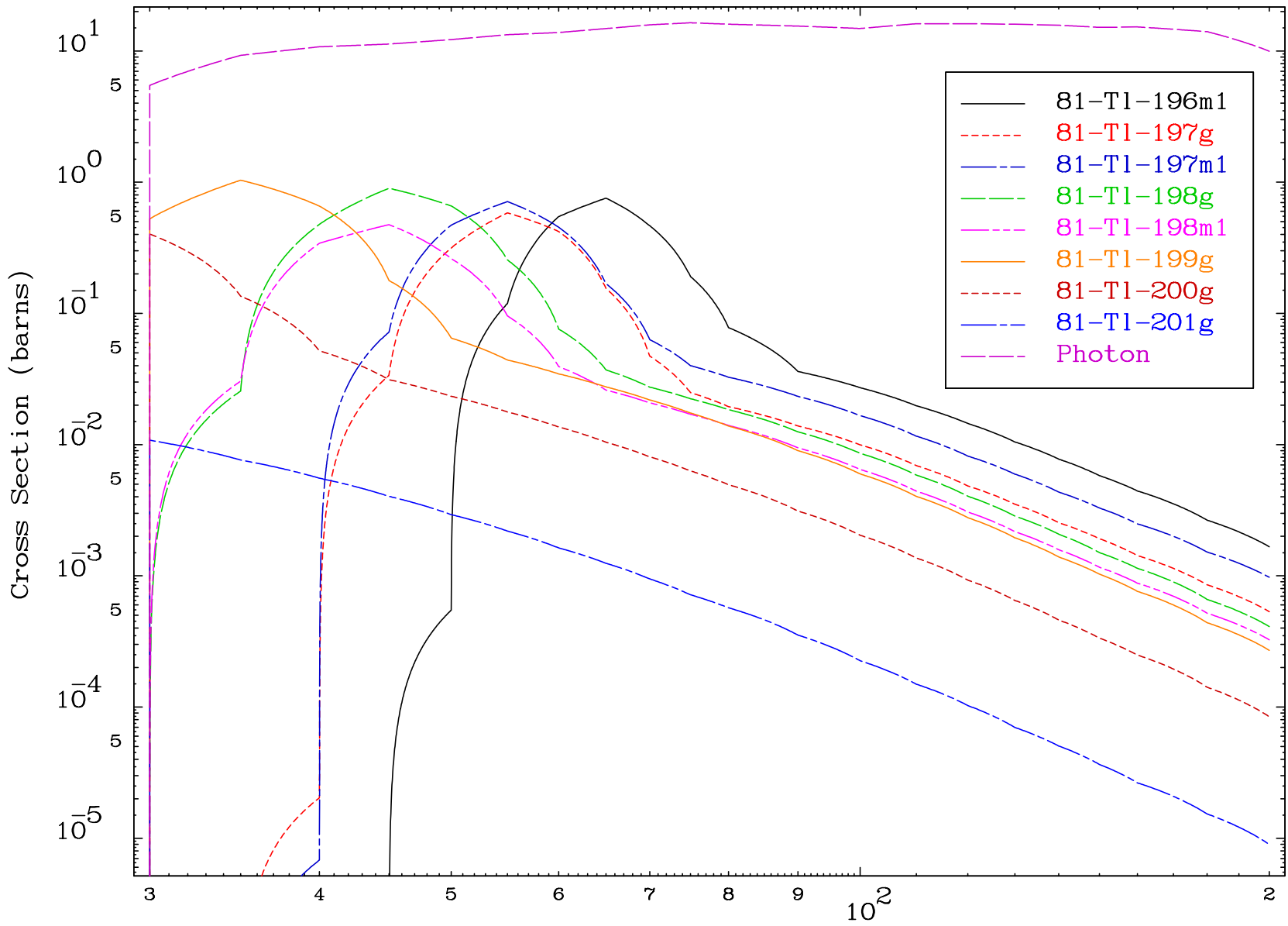
Radionuclide Production Cross Section

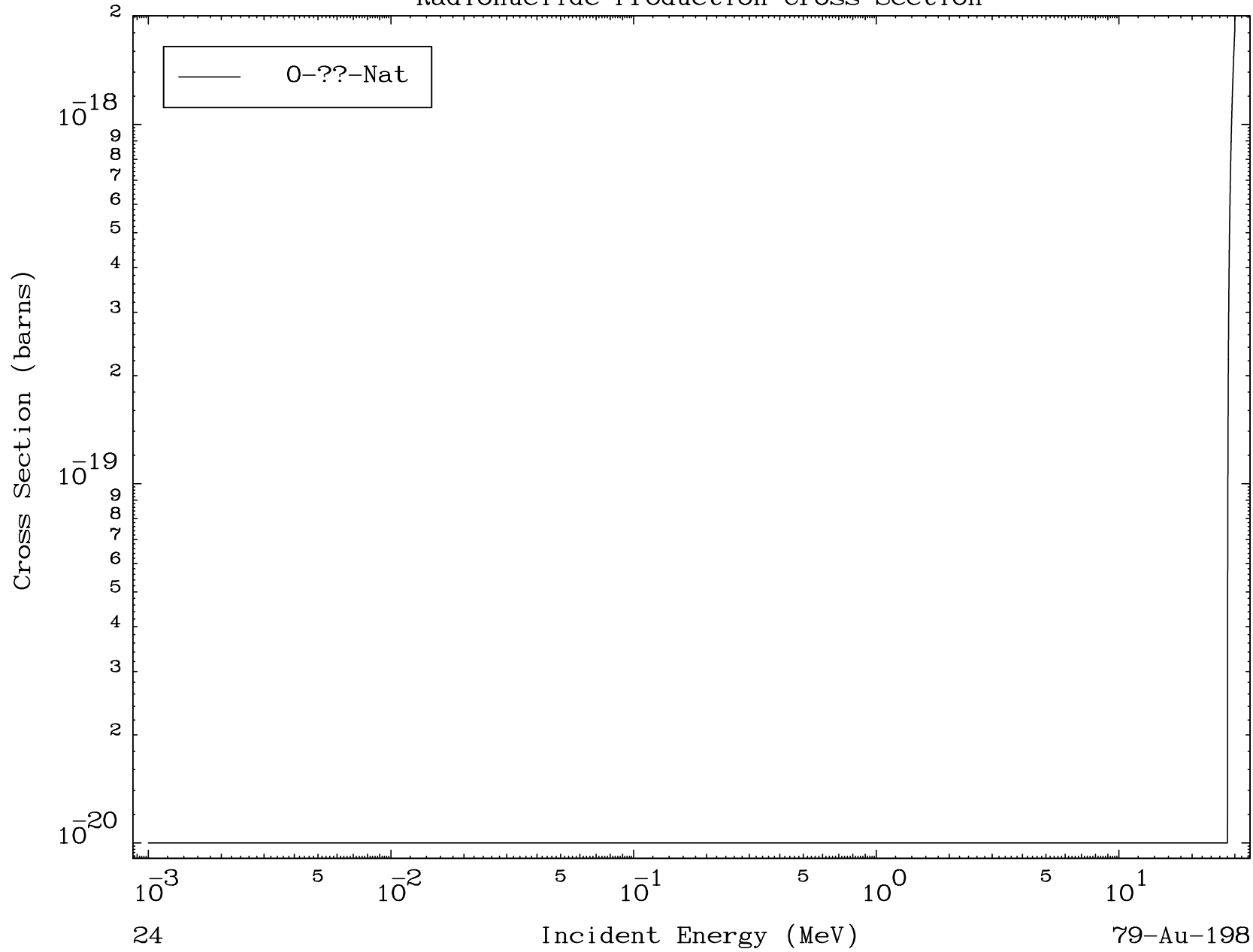


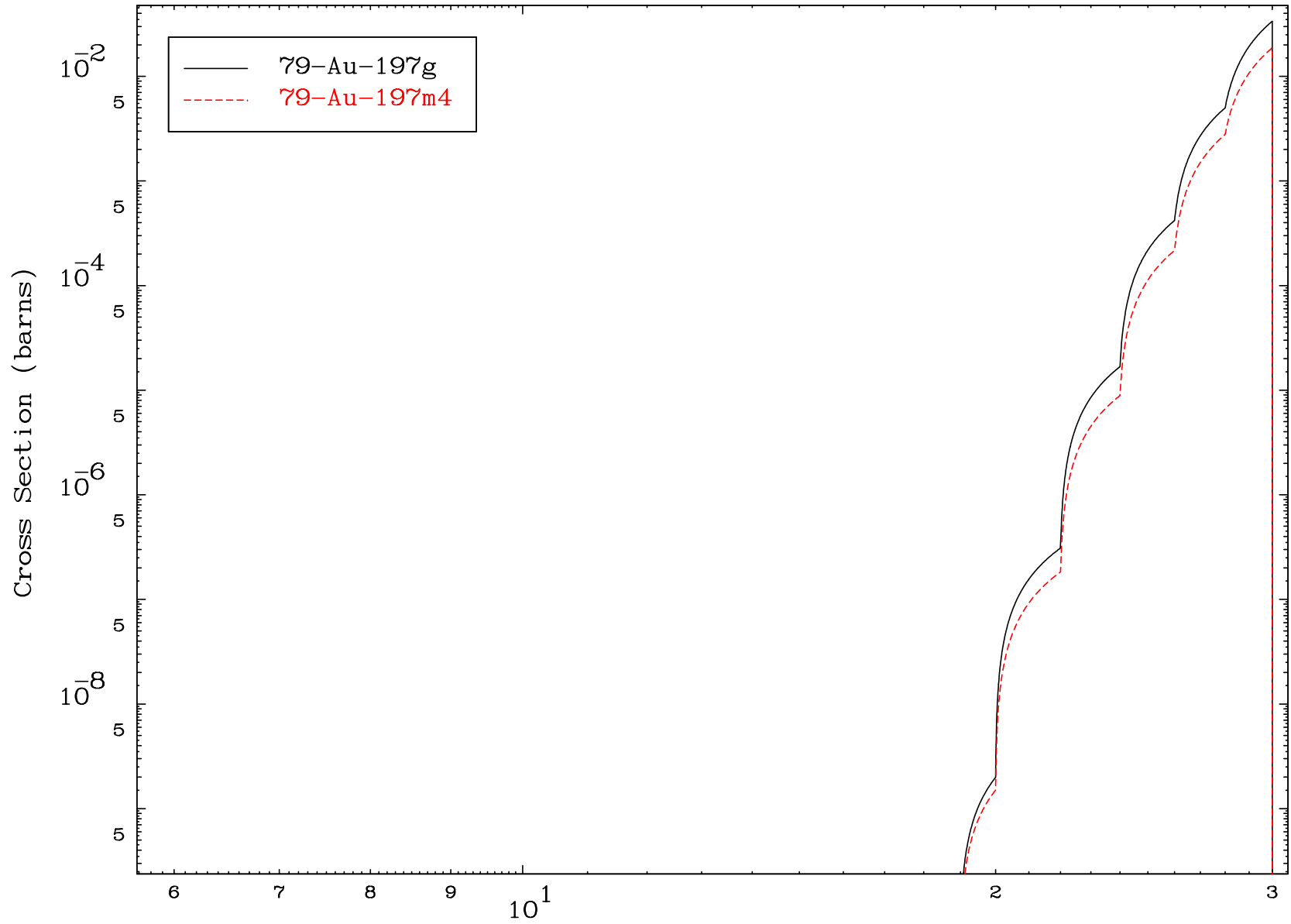
Radionuclide Production Cross Section



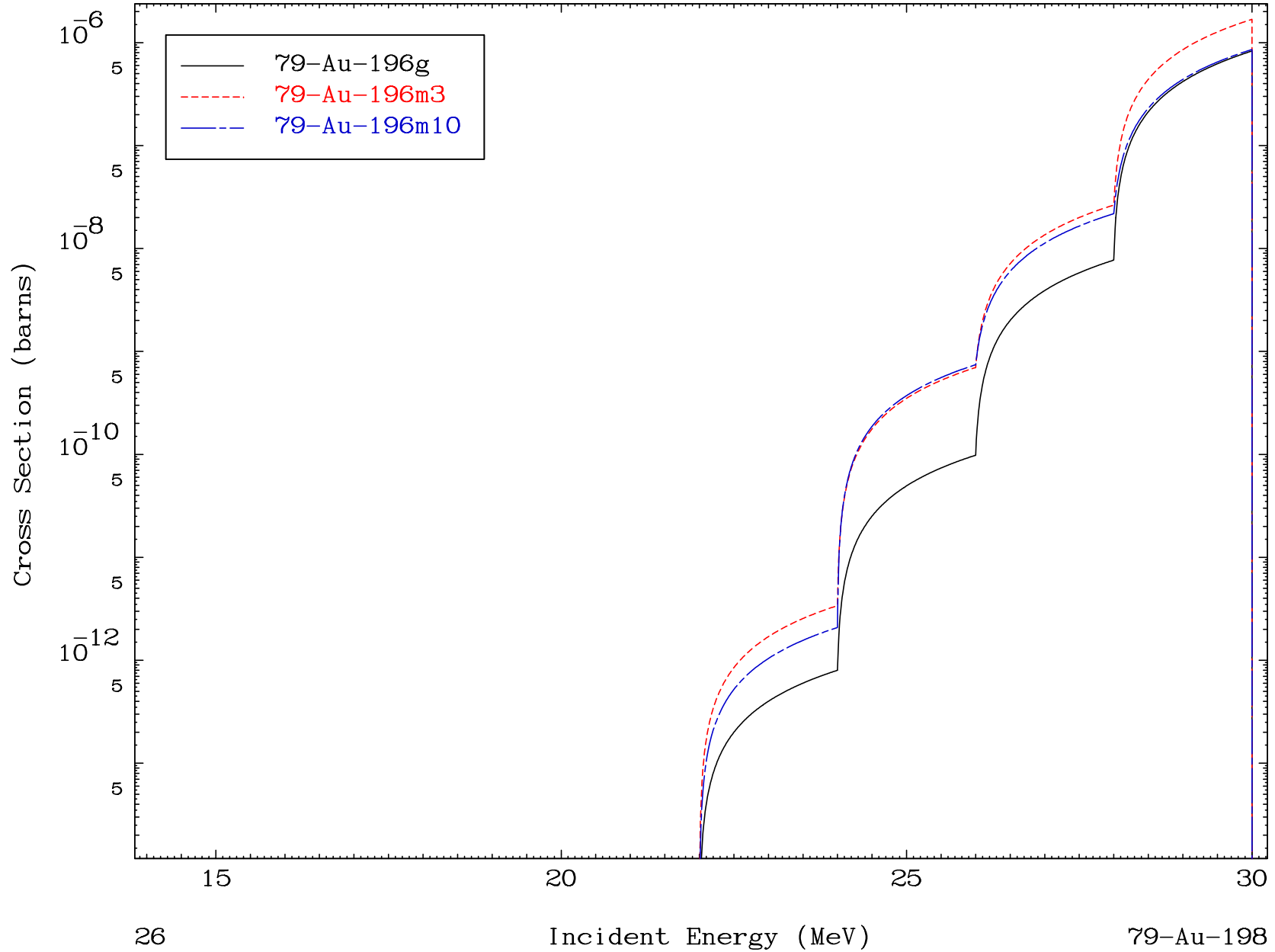
Radionuclide Production Cross Section







Radionuclide Production Cross Section

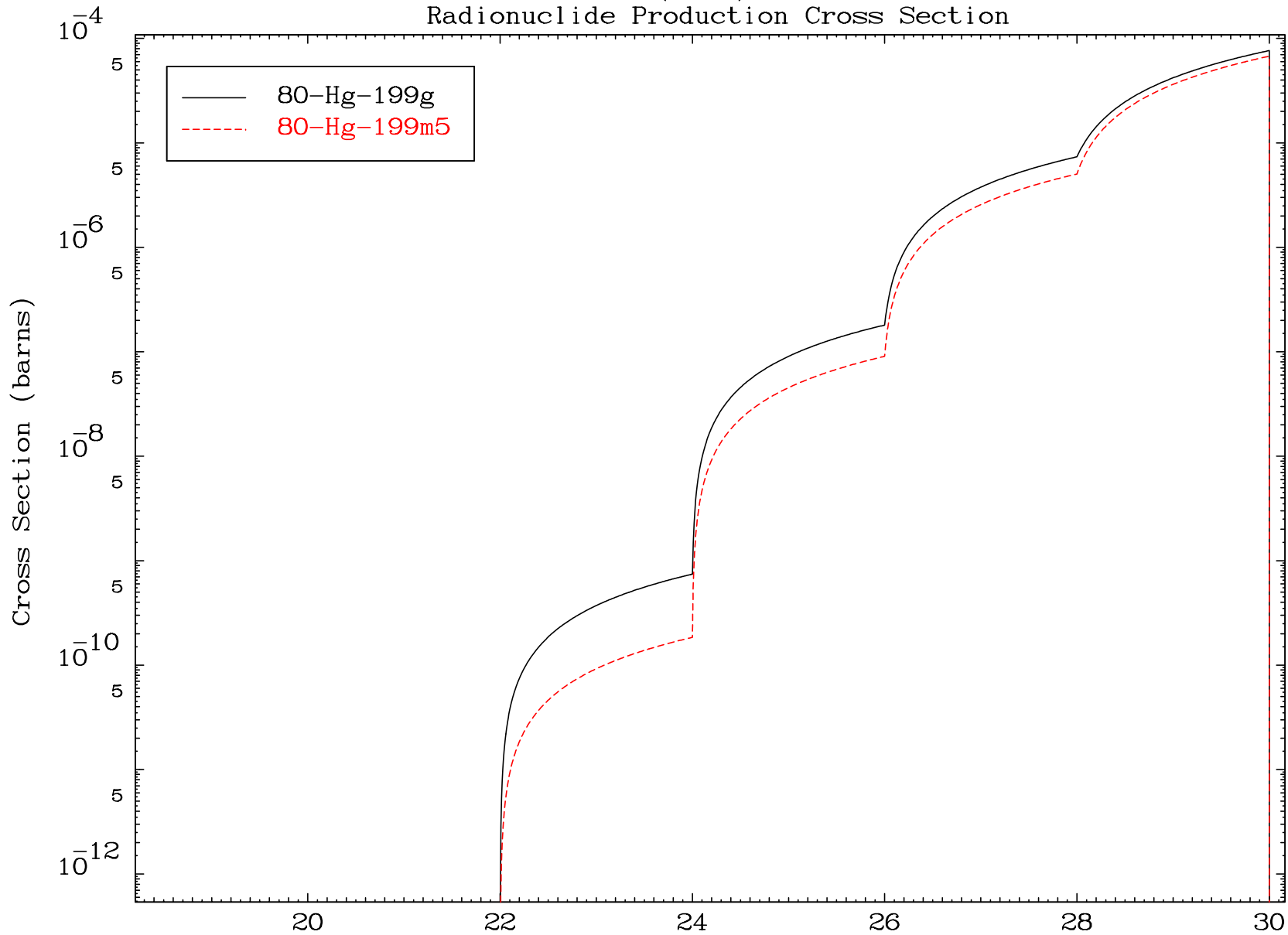


MAT 7929

(α, n') d

79-Au-198

Radionuclide Production Cross Section



27

Incident Energy (MeV)

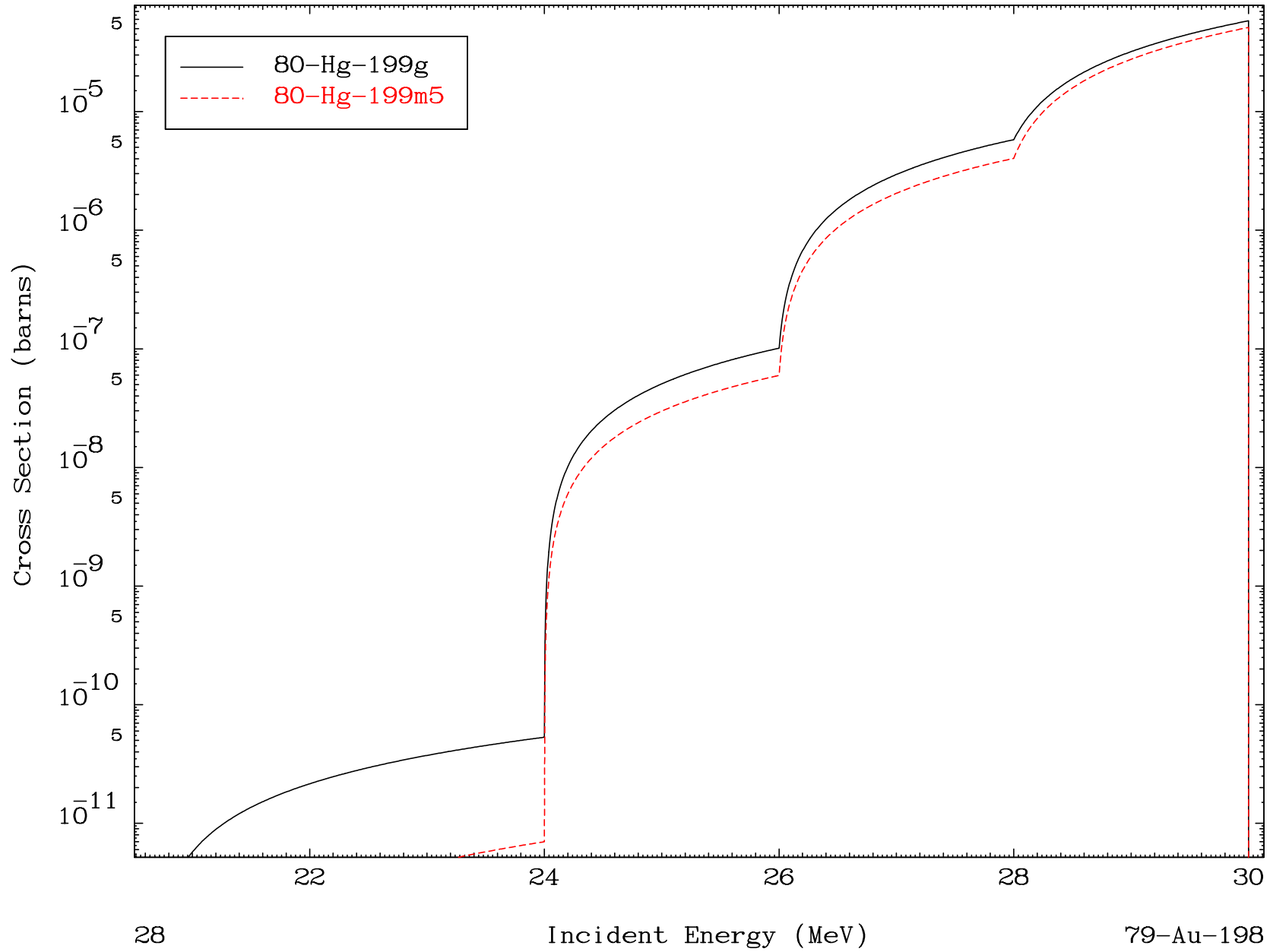
79-Au-198

MAT 7929

($\alpha, 2n$) p

79-Au-198

Radionuclide Production Cross Section

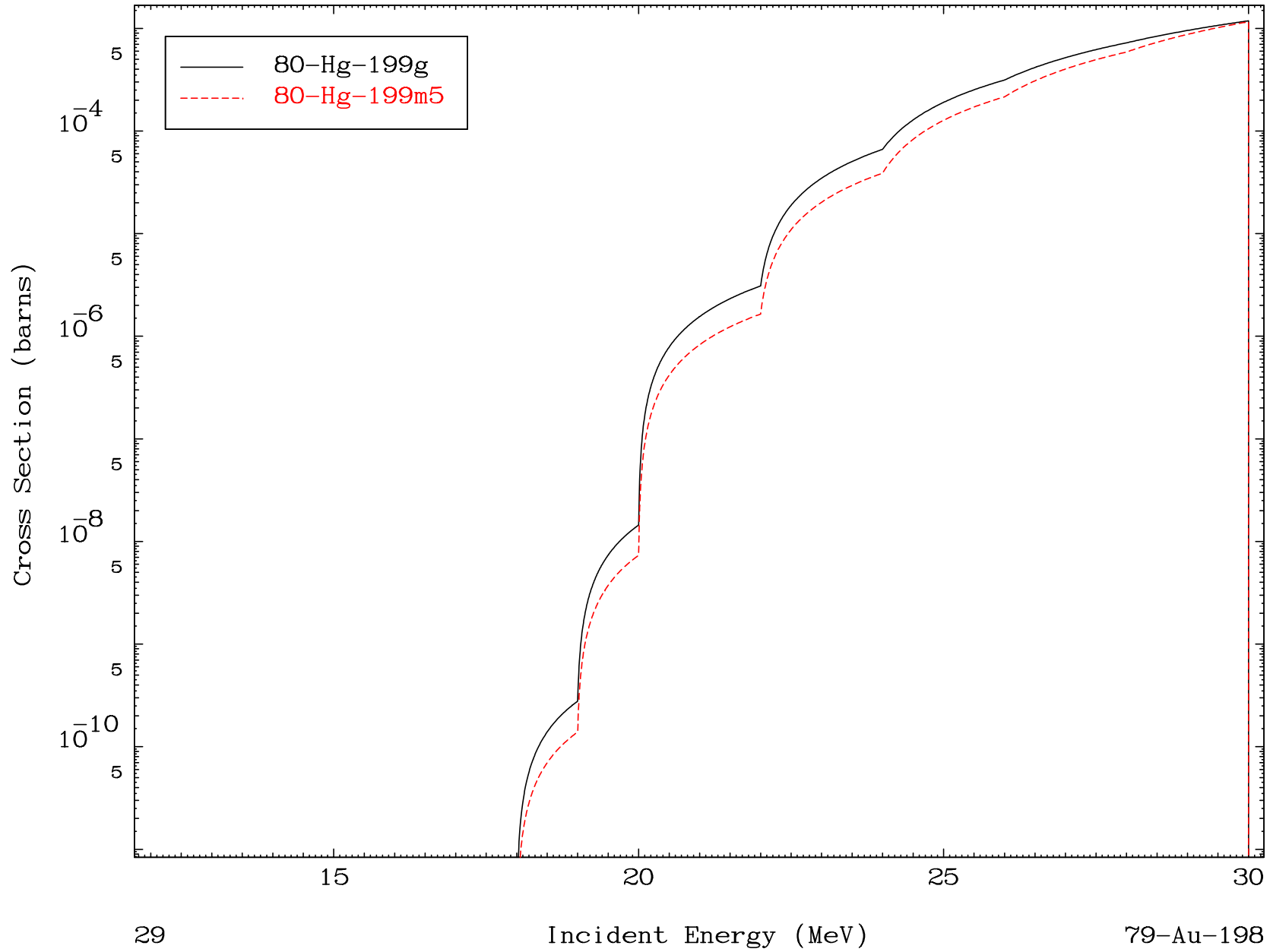


MAT 7929

(α, t)

79-Au-198

Radionuclide Production Cross Section



MAT 7929

(α, α)

79-Au-198

Radionuclide Production Cross Section

